

П.А. Бакут, С.Д. Польских, К.Н. Свиридов, Н.Ю. Хомич

ИССЛЕДОВАНИЕ ВЕРОЯТНОСТНОГО ПОДХОДА К ДОСТИЖЕНИЮ ДИФРАКЦИОННОГО РАЗРЕШЕНИЯ ОПТИЧЕСКИХ СИСТЕМ В УСЛОВИЯХ АТМОСФЕРНОГО «ВИДЕНИЯ»

Анализируется возможность достижения дифракционного разрешения системы атмосфера – телескоп при короткоэкспозиционной регистрации изображения изопланатичного стационарного объекта. Введено понятие мгновенного пространственного радиуса корреляции атмосферных искажений поля светового излучения и статистическими методами машинного моделирования получено гамма-распределение его вероятности. На основании полученного распределения исследована вероятность хорошего «видения» и для различных соотношений диаметра телескопа D и параметра Фрида r_0 найдено требуемое число короткоэкспозиционных регистраций изображений объекта для получения среди них хотя бы одного дифракционно-ограниченного. Рассмотрены трудности практической реализации вероятностного подхода.

1. Введение

Наличие турбулентной атмосферы Земли между наблюдаемым объектом и приемной апертурой телескопа приводит к тому, что реальная разрешающая способность системы атмосфера – телескоп определяется не диаметром приемной апертуры телескопа D , а статистическими характеристиками атмосферных искажений светового излучения r_0 и в среднем ограничивается величиной порядка одной угловой секунды. Этого недостаточно для решения целого ряда практически важных задач наблюдательной астрономии и приводит к возникновению проблемы «видения» через турбулентную атмосферу. Одним из классических методов решения проблемы «видения» является вероятностный подход, основанный на пассивном ожидании моментов хорошего дифракционного «видения».

Действительно, в силу случайности атмосферных искажений поля светового излучения существует вероятность того, что в некоторые моменты времени эти искажения на приемной апертуре телескопа могут быть пренебрежимо малы. При этом либо мгновенная дисперсия атмосферных искажений фазы $\Theta(\rho)$ светового излучения на приемной апертуре телескопа $\sigma_{\Theta D}^2$ оказывается меньше единицы [1], либо величина мгновенного пространственного радиуса корреляции атмосферных искажений поля светового излучения \tilde{r}_0 оказывается больше величины диаметра приемной апертуры телескопа D . Очевидно, что короткоэкспозиционные изображения наблюдаемого объекта, регистрируемые в эти случайные моменты времени, могут характеризоваться дифракционным разрешением системы атмосфера – телескоп [2].

Исследуем вероятность $P(\tilde{r}_0 \geq D)$ подобных ситуаций получения дифракционно-ограниченных короткоэкспозиционных изображений в зависимости от соотношения пространственных характеристик атмосферы r_0 и телескопа D , что позволит нам для различных соотношений D и r_0 оценить среднее число короткоэкспозиционных изображений объекта $K \sim 1/P$, которое необходимо зарегистрировать, чтобы получить среди них хотя бы одно дифракционно-ограниченное.

Для проведения настоящих исследований необходимо: во-первых, определить статистические характеристики мгновенного пространственного радиуса корреляции атмосферных искажений поля светового излучения \tilde{r}_0 и, во-вторых, оценить вероятность удовлетворения неравенства $\tilde{r}_0 \geq D$, обеспечивающего достижение верхнего (дифракционного) предела разрешения системы атмосфера – телескоп в короткоэкспозиционном изображении объекта.

2. Статистические характеристики величины

Решение данной задачи начнем с определения величины мгновенного пространственного радиуса корреляции атмосферных искажений поля светового излучения.

Ранее [3] была введена величина среднего пространственного радиуса корреляции атмосферных искажений поля светового излучения r_0 (параметр Фрида), определяемая через среднюю оптическую передаточную функцию (ОПФ) системы атмосфера – телескоп для длинноэкспозиционного изображения [4]

$$\int \langle \tau_{A-T}^{1-3}(\rho, \lambda) \rangle d\rho = \int \exp \left\{ -3,44 \left[\frac{|\rho|}{r_0(\lambda, z^0)} \right]^{5/3} \right\} d\rho = \frac{\pi r_0^2(\lambda, z^0)}{4} \quad (1)$$

и представленная [5] в виде

$$r_0(\lambda, z^0) = r_0(\lambda_0, 0^0) \left(\frac{\lambda}{\lambda_0} \right)^{6/5} (\sec z^0)^{-3/5}, \quad (2)$$

где $r_0(\lambda_0, 0^0)$ — величина среднего пространственного радиуса корреляции атмосферных искажений поля светового излучения для вертикальной трассы распространения ($z^0 = 0^0$) на длине волны λ_0 , определяемая [3]

$$r_0(\lambda_0, 0^0) = \left[0,423 \left(\frac{2\pi}{\lambda_0} \right)^2 \int_0^L C_n^2(h) \left(\frac{h}{L} \right)^{5/3} dh \right]^{-3/5},$$

где $C_n^2(h)$ — зависимость структурной характеристики показателя преломления от высоты h над поверхностью Земли; L — длина турбулентной трассы. В дальнейшем для упрощения записи мы опустим зависимость всех величин от длины волны λ_0 и зенитного угла z^0 .

Таким образом, аналогично (1), анализируя среднее разрешение системы атмосфера—телескоп для короткоэкспозиционных изображений, величину среднего значения мгновенного пространственного радиуса корреляции атмосферных искажений поля светового излучения $\langle \tilde{r}_0 \rangle$ можно определить через среднюю ОПФ короткоэкспозиционного изображения [4]

$$\int \langle \tau_{A-T}^{k-3}(\rho) \rangle d\rho = \int \exp \left\{ -3,44 \left[\frac{|\rho|}{r_0} \right]^{5/3} \left[1 - \left(\frac{|\rho|}{D} \right)^{1/3} \right] \right\} d\rho = \frac{\pi \langle \tilde{r}_0 \rangle^2}{4}, \quad (4)$$

и на основании несложных преобразований легко показать, что она связана с параметром Фрида (2) соотношением

$$\langle \tilde{r}_0 \rangle \approx r_0 \left[1 + 0,29 \left(\frac{r_0}{D} \right)^{1/3} \right] \quad (5)$$

при

$$D \geq 3,5r_0 \quad (6)$$

и оказывается на (10–30)% больше, чем r_0 для телескопов средних диаметров ($D = 1–2$ м), что свидетельствует об аналогичном выигрыше в среднем разрешении при переходе от длинноэкспозиционной регистрации изображений к короткоэкспозиционной регистрации.

В соответствии с определениями (1) и (4) естественно определить величину мгновенного пространственного радиуса корреляции атмосферных искажений поля светового излучения \tilde{r}_0 через мгновенную ОПФ (ОПФ короткоэкспозиционного изображения) системы атмосфера—телескоп как

$$\int |\tau_{A-T}^{k-3}(\rho)| d\rho = \frac{\pi \tilde{r}_0^2}{4}, \quad (7)$$

где мгновенная ОПФ системы атмосферы—телескоп $\tau_{A-T}^{k-3}(\rho)$ определяемая [6], представлена в виде

$$\tau_{A-T}^{k-3}(\rho) = \frac{1}{S_a} \int W(\rho_1) W^*(\rho_1 - \rho) \Delta(\rho_1) \Delta^*(\rho_1 - \rho) d\rho_1, \quad (8)$$

где S_a — площадь приемной апертуры телескопа, $S_a = \frac{\pi D^2}{4}$; $W(\rho)$ — апертурная функция, определяемая как $W(\rho) = A(\rho) e^{i\Theta_T(\rho)}$, $A(\rho)$ — функция зрачка, равная единице в пределах апертуры и нулю вне ее, а $\Theta_T(\rho)$ — функция абберационных искажений телескопа; $\Delta(\rho)$ — функция атмосферного изменения параметров светового излучения, определяемая при условии пренебрежения амплитудными атмосферными флуктуациями как

$$\Delta(\rho) = \exp \{ j\Theta_A(\rho) \},$$

где $\Theta_A(\rho)$ — функция атмосферных фазовых флуктуаций светового излучения, представляющая собой двумерный гауссовский случайный процесс с нулевым средним значением $\langle \Theta_A(\rho) \rangle = 0$ и структурной функцией вида

$$D(\rho) = \langle [\Theta(\rho_1) - \Theta(\rho_2)]^2 \rangle = 6,88 \left[\frac{|\rho_1 - \rho_2|}{r_0} \right]^{5/3}. \quad (9)$$

Для нахождения распределения вероятности величины \tilde{r}_0 определяемой (7), в соответствии с методикой, изложенной нами ранее [7], осуществляли моделирование на ЭВМ случайных мгновенных ОПФ системы атмосфера—телескоп. По полученным мгновенным ОПФ в соответствии с определением (7) получали для различных отношений D/r_0 выборки случайных значений величины \tilde{r}_0 . Размер каждой такой выборки был равен 1200. Поведение выборочного среднего $\langle \tilde{r}_0 \rangle$ (кривая 1) и относительной выборочной дисперсии $\sigma_{\tilde{r}_0}^2 / \langle \tilde{r}_0 \rangle^2$ (кривая 2) в зависимости от величины отношения D/r_0 показано на рис. 1. Здесь же для сравнения представлена аналитическая зависимость для $\langle \tilde{r}_0 \rangle$, полученная на основании (6) (кривая 3), а также зависимость r_0 (кривая 4). Сравнение полученных зависимостей свидетельствует о хорошем согласии теории и эксперимента.

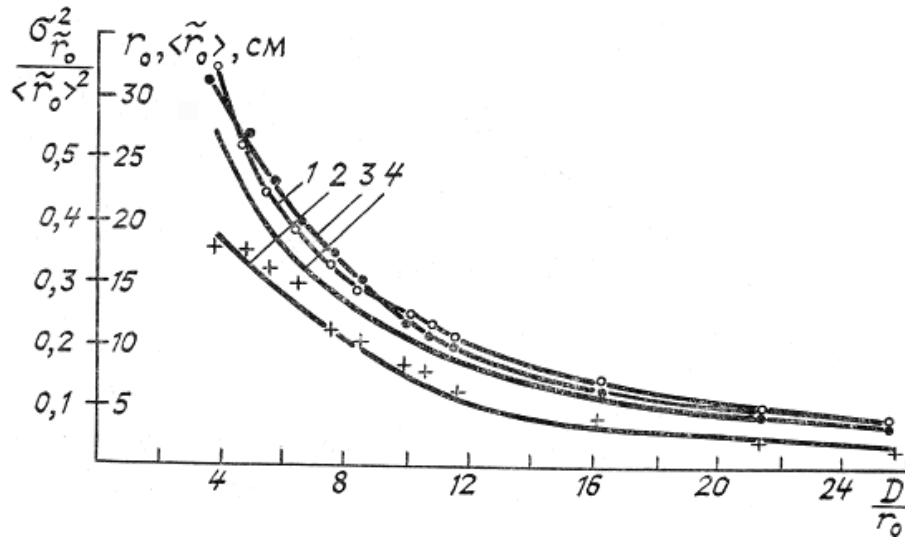


Рис. 1. Статистические характеристики величины \tilde{r}_0 : 1 — среднее значение $\langle \tilde{r}_0 \rangle$; 2 — относительная дисперсия $\sigma_{\tilde{r}_0}^2 / \langle \tilde{r}_0 \rangle^2$; 3 — зависимость $\langle \tilde{r}_0 \rangle$ (5); 4 — параметр Фрида r_0

На рис. 2 представлены гистограммы распределений вероятности величины \tilde{r}_0 полученные путем статистической обработки 1200 ее выборочных значений, синтезированных при различных отношениях D/r_0 . Здесь же для сравнения представлены аналитические зависимости для трех возможных законов распределения вероятности величины \tilde{r}_0 а именно:

— логарифмически-нормального (кривая 1)

$$p(\tilde{r}_0) = \frac{1}{\sqrt{2\pi}\sigma_{\ln\tilde{r}_0}} \cdot \frac{1}{\tilde{r}_0} \exp \left\{ -\frac{1}{2} \left[\frac{\ln \tilde{r}_0 - \langle \ln \tilde{r}_0 \rangle}{\sigma_{\ln\tilde{r}_0}} \right]^2 \right\}; \quad (10)$$

— гамма-распределения (кривая 2)

$$p(\tilde{r}_0) = \frac{\tilde{r}_0^{\alpha-1} \alpha^\alpha}{\Gamma(\alpha) \langle \tilde{r}_0 \rangle^\alpha} \exp \left\{ -\frac{\alpha \tilde{r}_0}{\langle \tilde{r}_0 \rangle} \right\}, \quad (11)$$

где

$$\alpha = \frac{\langle \tilde{r}_0 \rangle^2}{\sigma_{\tilde{r}_0}^2}, \quad \Gamma(\alpha) \text{ — гамма-функция}; \quad (12)$$

– нормального распределения (кривая 3)

$$p(\tilde{r}_0) = \frac{1}{\sqrt{2\pi\sigma_{\tilde{r}_0}^2}} \exp\left\{-\frac{1}{2}\left[\frac{\tilde{r}_0 - \langle\tilde{r}_0\rangle}{\sigma_{\tilde{r}_0}}\right]^2\right\}, \quad (13)$$

полученные для средних $\langle\tilde{r}_0\rangle$ и $\langle\ln\tilde{r}_0\rangle$ и дисперсий $\sigma_{\tilde{r}_0}^2$ и $\sigma_{\ln\tilde{r}_0}^2$, вычисленных на основании экспериментальных гистограмм.

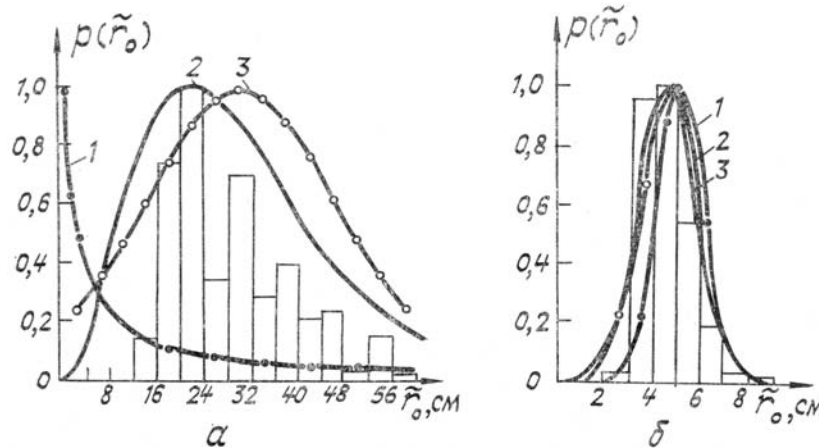


Рис. 2. Гистограммы распределения вероятностей величины \tilde{r}_0 : а – $D/r_0 = 3,75$; б – $D/r_0 = 21$; 1 – логнормальное распределение; 2 – гамма-распределение; 3 – нормальное распределение

В результате визуального сравнения теоретически полученных зависимостей распределений вероятности величины \tilde{r}_0 с экспериментально полученными гистограммами можно сделать качественный вывод, что в диапазоне изменения отношения D/r_0 , определяемом неравенством (6), гамма-распределение вероятности (11) лучше согласуется с экспериментальными данными, чем логарифмически-нормальное (10) и нормальное (13) распределения.

Таблица 1

		$\langle\tilde{r}_0^m\rangle/\langle\tilde{r}_0\rangle^m$															
		$D/r_0 (\lambda, z^0)$															
		3,75				6,5				11,5				16			
m		1	2	3	4	1	2	3	4	1	2	3	4	1	2	3	4
2		1,4	1,4	1,28	3,8	1,23	1,23	1,22	3,15	1,096	1,096	1,095	2,39	1,076	1,076	1,076	1,53
3		2,81	2,51	1,88	19,1	2,1	1,81	1,69	13,4	1,32	1,31	1,29	7,93	1,26	1,25	1,23	3,6
4		7,24	5,49	3,03	109	5,34	3,08	2,54	64,9	1,74	1,68	1,6	19,1	1,61	1,53	1,48	12,7
		21								25							
		1	2	3	4	1	2	3	4	1	2	3	4	1	2	3	4
		1,055	1,055	1,055	1,093	1,055	1,055	1,055	1,093	1,05	1,05	1,05	1,08	1,05	1,05	1,05	1,08
		1,18	1,17	1,16	1,26	1,18	1,17	1,16	1,26	1,16	1,16	1,15	1,2	1,16	1,16	1,15	1,2
		1,4	1,38	1,34	1,78	1,4	1,38	1,34	1,78	1,37	1,35	1,3	1,44	1,37	1,35	1,3	1,44

Примечание. 1 – эксперимент, 2 – гамма-распределение, 3 – нормальное распределение, 4 – логнормальное распределение.

Для более точного количественного сравнения экспериментальных гистограмм с теоретическими распределениями (10)–(13) были вычислены отношения моментов $\langle\tilde{r}_0^m\rangle/\langle\tilde{r}_0\rangle^m$, представленные для $m = 2, 3, 4$ и различных D/r_0 в табл. 1. На основании анализа данных, представленных в табл. 1, во-первых, следует, что эксперимент хорошо согласуется с гамма-распределением вероятности (11)

величины \tilde{r}_0 во всем диапазоне возможных значений отношения D/r_0 и, во-вторых, видно хорошее согласие эксперимента со всеми тремя теоретическими распределениями вероятности для величины \tilde{r}_0 при очень больших отношениях D/r_0 в силу центральной предельной теоремы, естественной нормализации распределений (10), (11) и стремления $\langle \tilde{r}_0 \rangle$ к r_0 (5).

Заметим, что этот вывод находится в хорошем согласии с экспериментально полученными для больших телескопов [8] предположениями о близости закона распределения вероятности величины r_0 к логарифмически нормальному закону, который является допустимым приближением к истинному распределению вероятности величины \tilde{r}_0 при больших отношениях D/r_0 .

В связи с тем, что при исследовании вероятностного подхода к достижению дифракционного разрешения системы атмосфера—телескоп наибольший интерес представляют сравнительно небольшие отношения D/r_0 , необходимо при оценке вероятности хорошего «видения» ориентироваться на использование полученного выше гамма-распределения вероятности случайной величины \tilde{r}_0 , являющегося наиболее точной аппроксимацией истинного распределения вероятности величины \tilde{r}_0 при любых отношениях D/r_0 .

3. Вероятность достижения дифракционного разрешения системы атмосфера—телескоп в короткоэкспозиционных изображениях

В соответствии с выбранным нами критерием хорошего «видения», то есть в связи с упомянутой выше необходимостью удовлетворения неравенства

$$\tilde{r}_0 \geq D, \quad (14)$$

естественно определить вероятность хорошего (дифракционного) «видения» через гамма-распределение вероятности (11) величины \tilde{r}_0 как

$$P(\tilde{r}_0 \geq D) = \int_D^{\infty} p(\tilde{r}_0) d\tilde{r}_0. \quad (15)$$

Легко показать, что вероятность (15) удовлетворения неравенства (14) соответствует вероятности того, что дисперсия атмосферных фазовых искажений светового излучения на приемной апертуре телескопа диаметра D , определяемая [9] как

$$\sigma_{\Theta,D}^2 \approx 0,141[D/r_0]^{5/3}, \quad (16)$$

удовлетворяет неравенству

$$\sigma_{\Theta,D}^2 \leq 0,141 \text{ рад}^2, \quad (17)$$

что является более жестким условием хорошего «видения», чем условие, использованное Фридом [1], а именно:

$$\sigma_{\Theta,D}^2 \leq 1 \text{ рад}^2. \quad (18)$$

Значения вероятностей хорошего «видения», вычисленные на основании (15) с учетом (11) для различных отношений D/r_0 , сведены в табл. 2 и представлены в логарифмическом масштабе на рис. 3.

Таблица 2

$D/r_0(\lambda, z^0)$	3,75	4,75	5,5	6,5
p	$2,19 \cdot 10^{-3}$	$7,02 \cdot 10^{-4}$	$4,65 \cdot 10^{-5}$	$5,53 \cdot 10^{-7}$

Полученная линейная зависимость $\ln P(\tilde{r}_0 \geq D)$ от отношения $[D/r_0]^2$ свидетельствует о возможности ее аппроксимации эмпирической зависимостью вида

$$P(\tilde{r}_0 \geq D) \simeq K_1 \exp\{-K_2 [D/r_0]^2\}; D \geq 3,5r_0, \quad (19)$$

где значения коэффициентов K_1 и K_2 , определенные на основании полученной зависимости рис. 3, соответственно равны

$$K_1 = 0,496, K_2 = 0,33. \quad (20)$$

Следует заметить, что аналогичная отрицательно-экспоненциальная зависимость вероятности хорошего «видения» P от отношения $[D/r_0]^2$ была качественно предсказана Хафнагелем [10] и для критерия хорошего «видения» (18) была количественно подтверждена Фридом [1] в виде

$$P (\sigma_{\theta,D}^2 \leq 1 \text{ рад}^2) \simeq K_1^\Phi \exp \{-K_2^\Phi [D/r_0]^2\}; D \geq 3,5r_0, \quad (21)$$

где $K_1^\Phi = 5,6$, а $K_2^\Phi = 0,1557$.

Из сравнения полученных зависимостей (19) и (21) видно, что они отличаются только коэффициентами K_1 и K_2 , причем зависимость (21), полученная Фридом, является более оптимистичной. Это отличие обусловлено как принципиально различными подходами, использованными при получении выражений для вероятностей хорошего «видения» (19) и (22), так и различием использованных критериев хорошего «видения» (14) и (18), из которых последний (18) (критерий Фрида) является менее жестким.

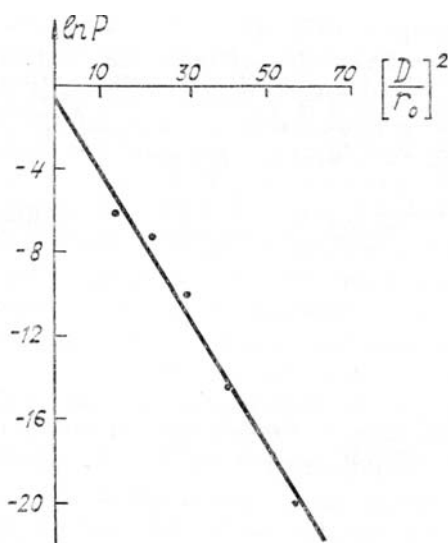


Рис. 3. Зависимость логарифма вероятности хорошего «видения» от отношения $(D/r_0)^2$

На основании полученной нами зависимости, представленной на рис. 3, нетрудно видеть, что для достижения дифракционного разрешения при $D/r_0 = 3,5$ необходимо осуществить не менее $K = 100$ короткоэкспозиционных регистраций изображений объекта, при $D/r_0 = 4$ необходимо зарегистрировать не менее $K = 400$ короткоэкспозиционных изображений, при $D/r_0 = 4,5$ требуемое число короткоэкспозиционных регистраций изображения объекта в среднем увеличивается до $K = 1600$, а при $D/r_0 \geq 5$ и более требуемое число короткоэкспозиционных регистраций изображения изопластичного объекта становится настолько большим ($K > 7 \cdot 10^3$), что описанный вероятностный подход к получению дифракционного разрешения системы атмосфера – телескоп в короткоэкспозиционном изображении объекта становится практически нереализуемым.

4. Заключение

Итак, на основании проведенных выше исследований очевидно, что для обеспечения реальной возможности достижения мгновенного дифракционного разрешения системы атмосфера – телескоп необходимо, во-первых, точно оценивать величину $z_0(\lambda, 0^\circ)$ (3) в точке стояния телескопа и по ней определять величину $r_0(\lambda, z^0)$ (2) для данных условий атмосферного «видения», а во-вторых, иметь возможность (и это важно подчеркнуть) уменьшения (например, путем диафрагмирования) приемной апертуры телескопа до диаметра D_d для создания условий практической реализуемости вероятностного подхода, например, путем обеспечения соотношения $D_d/r_0 = 3,5$.

Следует заметить, что, говоря о дифракционном разрешении, мы подразумевали идеальный безабберационный ($\Theta_T(\rho) = 0$) телескоп диаметра D . При наличии aberrаций, характерных для любого реального телескопа, его эффективный диаметр $D_{\text{эфф}}$ получается меньше D и достижение эффективного дифракционного разрешения оказывается возможным с большей вероятностью, чем достижение

дифракционного разрешения, реализовать которое при наличии аберраций телескопа вероятностным методом практически невозможно. Кроме того, возможности практической реализации рассмотренного вероятностного подхода ограничиваются и наличием нескомпенсированной атмосферной дисперсии [11], приводящей к поперечному окрашиванию изображений, преобладающему при больших зенитных углах ($z^0 > 45^\circ$) над их турбулентным размытием. Отмеченные ограничения свидетельствуют о малой эффективности классического вероятностного подхода к достижению высокого углового разрешения в системах атмосферного «видения» и указывают на необходимость разработки неклассических методов преддетекторной [12, 13] и последдетекторной [14, 15] компенсаций атмосферных искажений.

1. Fried D.L. //JOSA. 1978. V. 68. № 12. P. 1651–1658.
2. Bensimon D. et al. //JOSA. 1981. V. 71. № 9. P. 1138–1139.
3. Fried D.L. //JOSA. 1965. V. 55. № 10. P. 1427–1435.
4. Бакут П.А. и др. //Зарубежная радиоэлектроника. 1976. № 7. С. 15.
5. Fried D.L., Meverse G.E. //Appl. Opt. 1974. V. 13. № 11. P. 2620–2622.
6. Greenwood R.E., Fried D.L. //JOSA. 1976. V. 66. № 2. P. 193–206.
7. Hufnagel R.E. //In: Restoration of Atmospherically Degraded Images (National Academy of Sciences–National Research Council). Washington. 1966. V. 3. № 1. P. 11.

Поступила в редакцию
31 августа 1988 г.

Р.А. Бакут, С.Д. Пол'ских, К.Н. Свиридов, Н.У. Хомич. The Research of Probabilistic Approach to Improvement of Diffraction-Limited Resolution of Optical Systems in the Case of Atmospheric «Seeing».

The possibility of obtaining a diffraction-limited resolution of the atmosphere–telescope system in the case of registration of the short-exposition images of the isoplanatic stationary object is analyzed. The concept of instantaneous spatial correlation radius of atmospheric distortions of light radiation field is introduced, and γ -distribution of its probability is obtained by statistical computer simulation methods. The probability of good «seeing» is investigated on the basis of obtained distribution, and the required number of short-exposition image registrations for obtaining at least one diffraction-limited is found for different ratios between the telescope diameter D and the Freed parameter r_0 . Practical realization difficulties of probability approach are discussed.